



浙江大学
ZHEJIANG UNIVERSITY

面向Linux外设的虚拟化关键技术研究

博士论文答辩人： 刘强

学院(系)： 计算机科学与技术学院

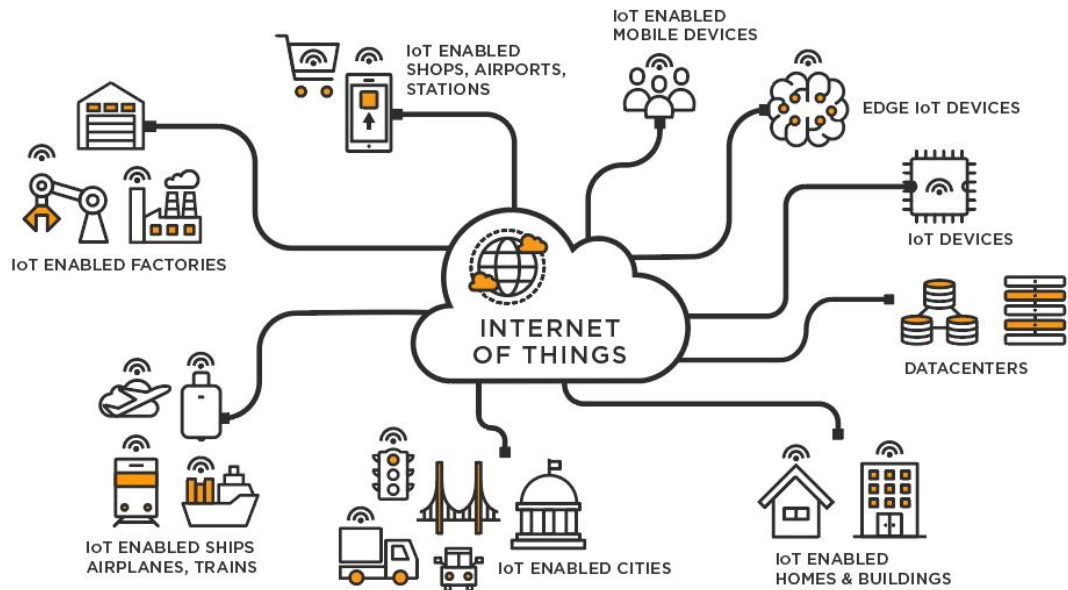
学科(专业)： 网络空间安全

指导教师： 周亚金

答辩时间： 2023年9月1日

Linux物联网设备的安全性亟待分析和加强

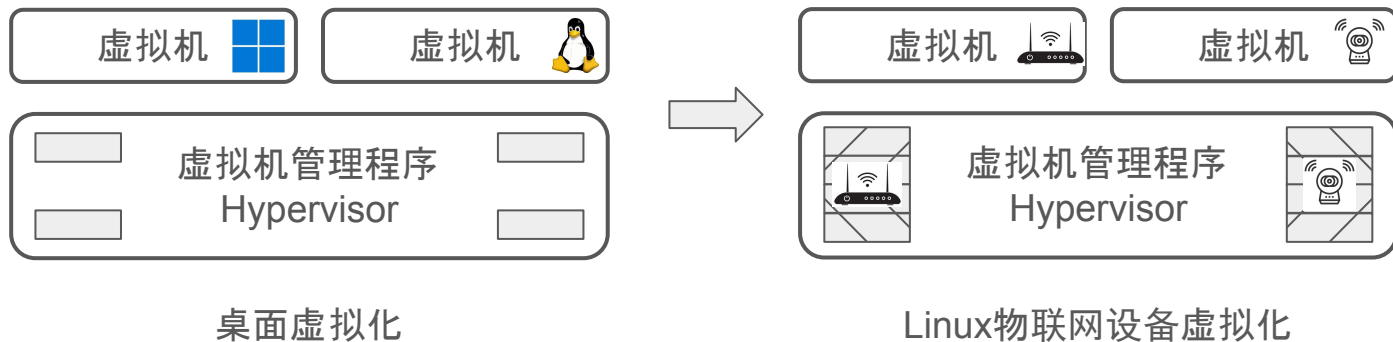
- 物联网(Internet of Things – IoT)应用广泛
- Linux物联网设备占比大, 安全风险高(弱密码、未打补丁的软件)



1,200,000 Linux物联网设备
受Mirai Botnet影响

Linux物联网设备虚拟化的必要性

- 动态分析: 如模糊测试、漏洞分析和利用开发、大规模蜜罐部署等
- 难以部署: 因为真实设备难获取、扩展性差、可调式性差



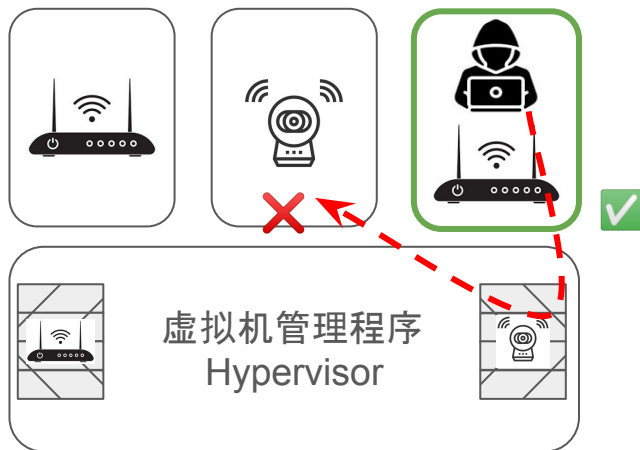
Linux物联网设备虚拟化的核心目标

- 保真性 (fidelity) : 确保虚拟的物联网设备与物理的物联网设备一致
- 安全性 (security) : 确保各个虚拟的物联网设备之间不互相影响



Linux物联网设备虚拟化的核心目标

- 保真性(fidelity):确保虚拟的物联网设备与物理的物联网设备一致
- 安全性(security):确保各个虚拟的物联网设备之间不互相影响



面向Linux物联网设备的虚拟化关键技术研究

基于模型引导内核执行的
虚拟执行环境构建研究

FirmGuide, ASE'21

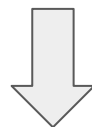
基于依赖感知消息模型的
虚拟执行环境模糊测试研究

ViDeZZo, S&P'23

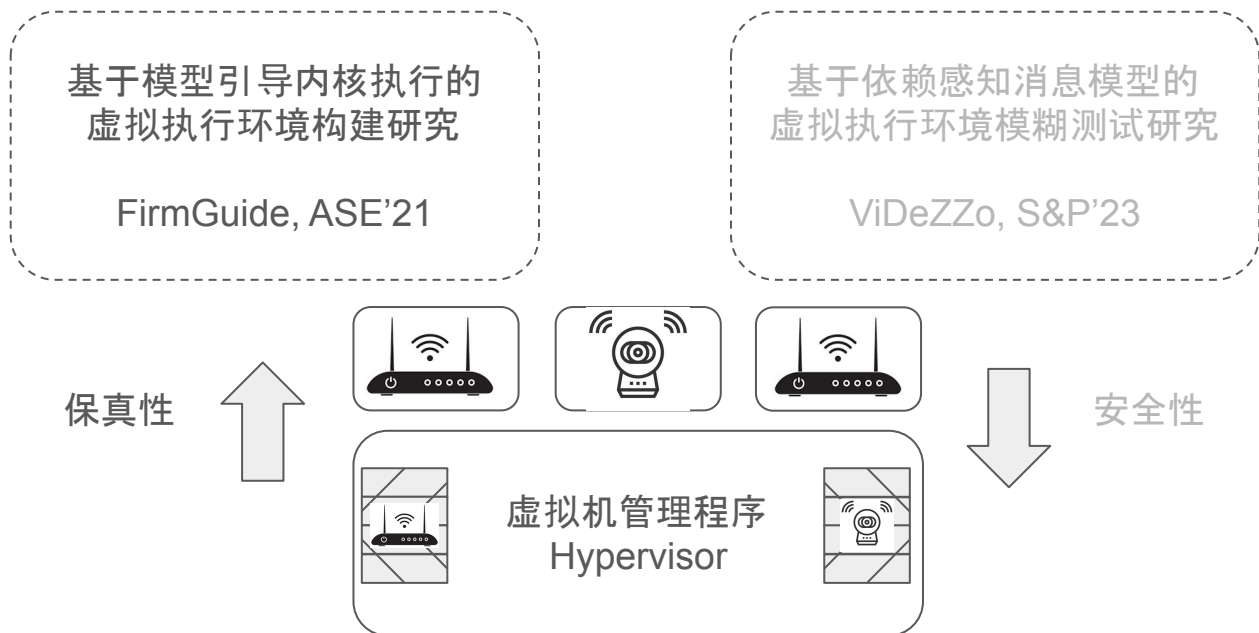
保真性



安全性



面向Linux物联网设备的虚拟化关键技术研究





浙江大學
ZHEJIANG UNIVERSITY



NANYANG
TECHNOLOGICAL
UNIVERSITY
SINGAPORE



THE HONG KONG
POLYTECHNIC UNIVERSITY
香港理工大學

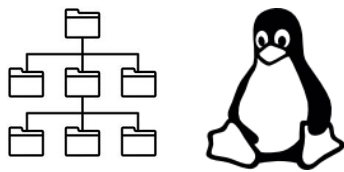
FirmGuide: Boosting the Capability of Rehosting Embedded Linux Kernels through Model-Guided Kernel Execution

Qiang Liu^{1*} Cen Zhang^{2*} Lin Ma¹ Muhui Jiang^{1,3} Yajin Zhou¹ Lei Wu¹ Wenbo Shen¹ Xiapu Luo³ Yang Liu² Kui Ren¹

¹Zhejiang University ²Nanyang Technological University ³The Hong Kong Polytechnic University

如何重新托管Linux物联网设备的内核？

- Linux物联网设备固件由根文件系统和Linux内核组成
- 已有的虚拟执行环境构建工具(重新托管)只能处理根文件系统
- 不处理Linux内核, 保真度低、也无法分析该Linux内核里的安全问题



根文件系统 Linux内核

固件

观察1:

高保真I-型、低保真II-型外围设备即可启动Linux内核

- I-型外围设备: 中断控制器, 定时器, 串口
- II-型外围设备: PCIE, 存储设备, 网络设备, 音频设备, USB

```
1 /dts-v1/;
2 / {
3     compatible = "plxtech,nas782x";
4     cpus { }; # processor
5     memory { }; # memory
6     gic@47001000 { }; # interrupt controller
7     timer@44400200 { }; # timer
8     uart@44200000 { }; # uart
9     reset-controller@44E00034 { };
10    rps@44400000 { };
11    oscillator { };
12    sysclk { };
13    pll@44e001f0 { };
14    pll@44f001f0 { };
15    stdclk { };
16    twdclk { };
17    gmacclk { };
18    pcie-controller@47C00000 { };
19    pcie-controller@47E00000 { };
20    local-timer@47000600 { };
21    watchdog@47000620 { };
22    sata@45900000 { };
23    nand@41000000 { };
24    ethernet@40400000 { };
25    ehci@40200100 { };
26    leds { };
27 };
28 };
```

```
1 void start_kernel(void)
2 {
3     ...
4     setup_arch(&command_line);
5     vfs_caches_init_early();
6     trap_init();
7     mm_init();
8     sched_init();
9     early_irq_init();
10    init_IRQ();
11    tick_init();
12    init_timers();
13    hrtimers_init();
14    softirq_init();
15    timekeeping_init();
16    time_init();
17    sched_clock_postinit();
18    local_irq_enable();
19    console_init();
20    sched_clock_init();
21    calibrate_delay();
22    vfs_caches_init(totalram_pages);
23    proc_root_init();
24    rest_init();
25 }
```

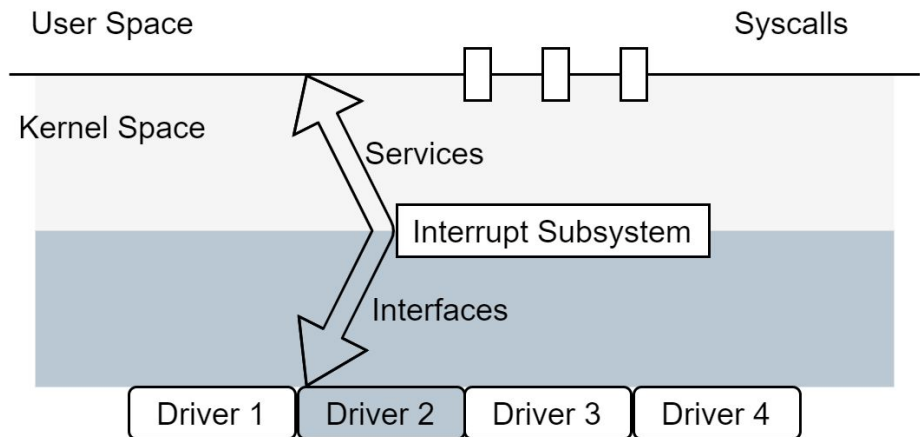
I-型	II-型
1 /dts-v1/;	1 /dts-v1/;
2 / {	2 / {
3 compatible = "plxtech,nas782x";	3 compatible = "plxtech,nas782x";
4 cpus { }; # processor	4 cpus { }; # processor
5 memory { }; # memory	5 memory { }; # memory
6 gic@47001000 { }; # interrupt controller	6 gic@47001000 { }; # interrupt controller
7 timer@44400200 { }; # timer	7 timer@44400200 { }; # timer
8 uart@44200000 { }; # uart	8 uart@44200000 { }; # uart
9 reset-controller@44E00034 { };	9 reset-controller@44E00034 { };
10 rps@44400000 { };	10 rps@44400000 { };
11 oscillator { };	11 oscillator { };
12 sysclk { };	12 sysclk { };
13 pll@44e001f0 { };	13 pll@44e001f0 { };
14 pll@44f001f0 { };	14 pll@44f001f0 { };
15 stdclk { };	15 stdclk { };
16 twdclk { };	16 twdclk { };
17 gmacclk { };	17 gmacclk { };
18 pcie-controller@47C00000 { };	18 pcie-controller@47C00000 { };
19 pcie-controller@47E00000 { };	19 pcie-controller@47E00000 { };
20 local-timer@47000600 { };	20 local-timer@47000600 { };
21 watchdog@47000620 { };	21 watchdog@47000620 { };
22 sata@45900000 { };	22 sata@45900000 { };
23 nand@41000000 { };	23 nand@41000000 { };
24 ethernet@40400000 { };	24 ethernet@40400000 { };
25 ehci@40200100 { };	25 ehci@40200100 { };
26 leds { };	26 leds { };
27 };	27 };
28 };	28 };

观察2:

Linux内核子系统定义状态机抽象外围设备行为

Linux内核中断子系统支持多中断控制器

- ralink-rt2880-intc
- qca,ar7240-intc
- marvell,orion-intc
- marvell,orion-bridge-intc
- arm,cortex-a9-gic
- ...



观察3:

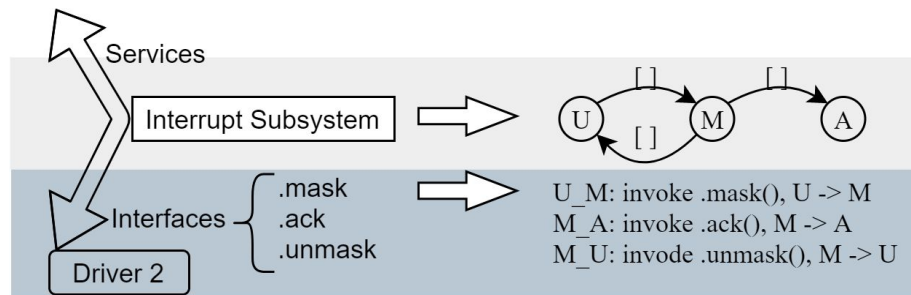
状态机依赖 底层驱动的I/O读写序列 转移状态

.mask()

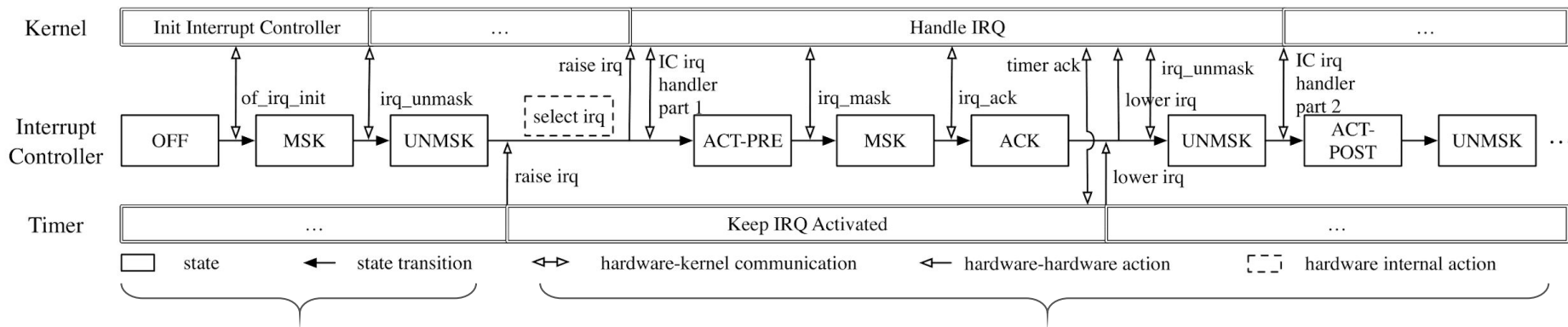
- MMIO Read A -> a (b'1000)
- a |= b'0001
- MMIO Write a (b'1001) -> A

.ack()

- MMIO Read B -> b (b'0001)
- switch(f(b)) ...



状态机配合状态转移条件实现高保真I-型外围设备建模

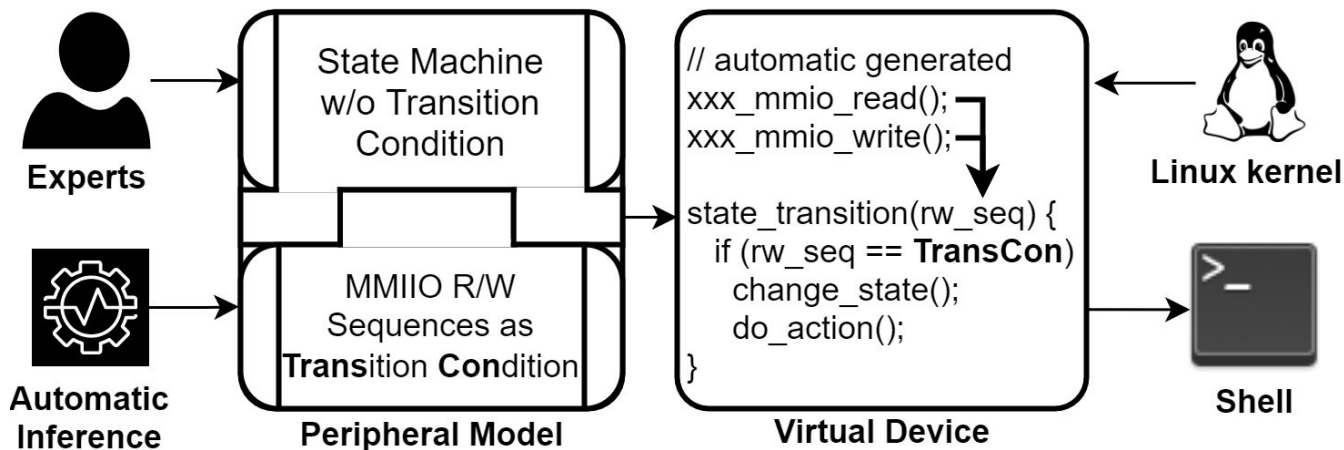


中断子系统 - 构建状态机

底层驱动 -> 推断自动状态转移条件

模型引导内核执行

- 虚拟外围设备=状态机(Linux内核子系统)+状态转移条件(I/O读写序列)



外围设备模型生成统计

- 9个I-型外围设备

Subtarget	Interrupt Controller	Timer
ramips/rt305x	ralink-rt2880-intc	not necessary
ath79/generic	qca,ar7240-intc	not necessary
kirkwood/generic	marvell,orion-intc marvell,orion-bridge-intc	marvell,orion-timer
bcm53xx/generic	arm,cortex-a9-gic	arm,cortex-a9-global-timer arm,cortex-a9-twd-timer
oxnas/generic	arm,arm11mp-gic	arm,arm11mp-twd-timer plxtech,nas782x-rps-timer

- 10/64个II-型外围设备(需要处理初始值的外围设备/总数)

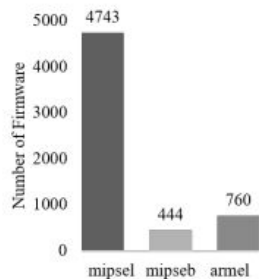
Subtarget	ramips/ rt305x	ath79/ generic	kirkwood/ generic	bcm53xx/ generic	oxnas/ generic
count	1/10	2/15	3/26	2/4	2/9

Linux物联网设备重新托管统计

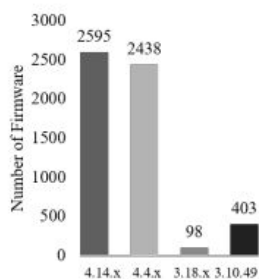
- 重新托管了超过96%的Linux物联网设备的内核

SoC	Unpack	Kernel	Booting Validation	
			User Space	Shell
Overall	6,192	6,188	5947 (96.11%)	5469 (88.38%)

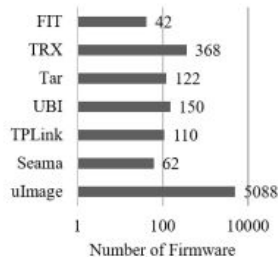
- 支持了2架构、22内核版本、7+固件格式、10+厂商、26片上系统等



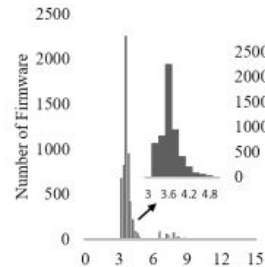
(a) Architecture



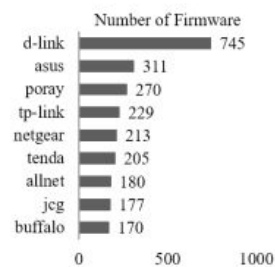
(b) Kernel Version



(c) Firmware Format



(d) Firmware Size



(e) Top-10 Vendors

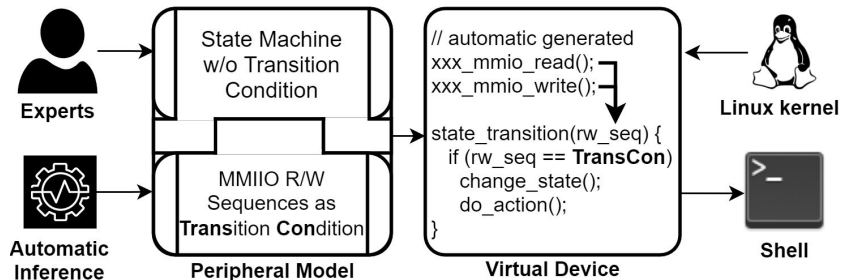
FirmGuide: Boosting the Capability of Rehosting Embedded Linux Kernels through Model-Guided Kernel Execution

如何重新托管Linux物联网设备的内核？

状态机配合状态转移条件实现高保真I-型外围设备建模

- 虚拟外围设备=状态机(Linux内核子系统)+状态转移条件(I/O读写序列)

II-型外围设备的建模技术仍需加强, 进一步使能更多的应用



浙江大學
ZHEJIANG UNIVERSITY

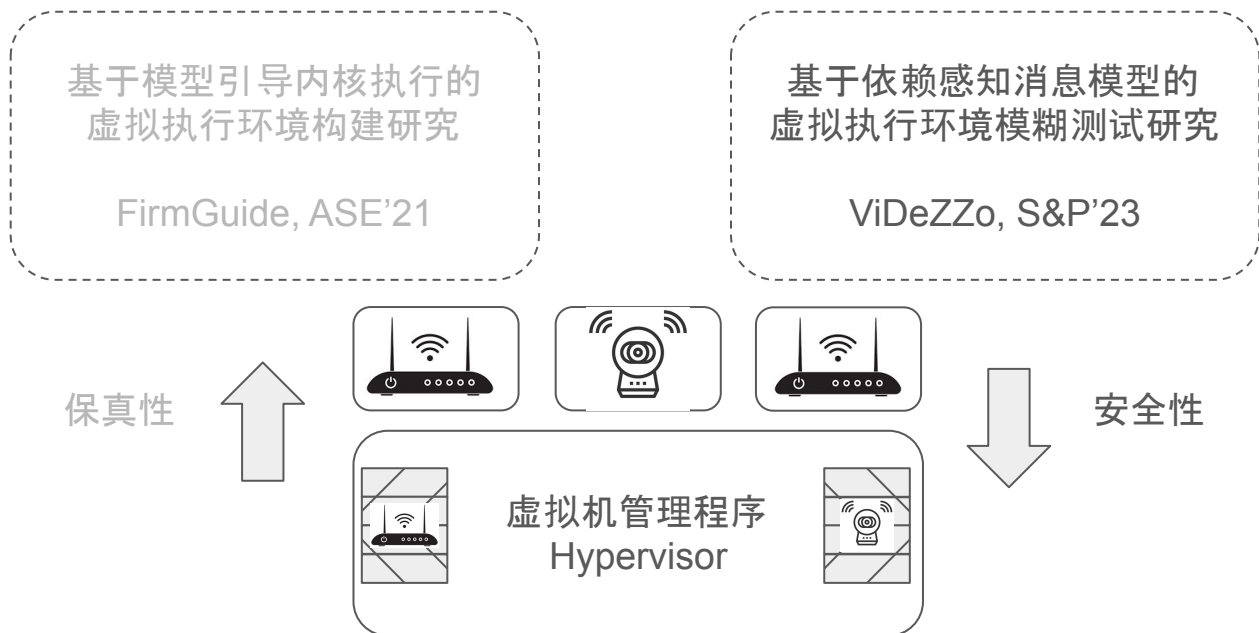


NANYANG
TECHNOLOGICAL
UNIVERSITY
SINGAPORE



THE HONG KONG
POLYTECHNIC UNIVERSITY
香港理工大學

面向Linux物联网设备的虚拟化关键技术研究





浙江大學
ZHEJIANG UNIVERSITY

EPFL



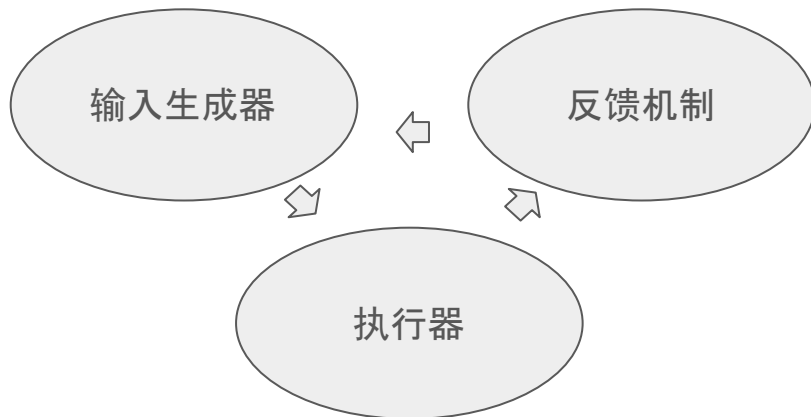
hexhive

ViDeZZo: Dependency-aware Virtual Device Fuzzing

Qiang Liu (Zhejiang University; EPFL) Flavio Toffalini (EPFL)
Yajin Zhou (Zhejiang University) Mathias Payer (EPFL)

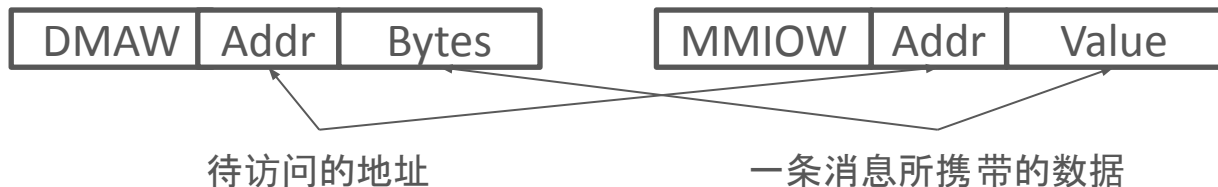
如何提高虚拟机管理程序模糊测试的效率？

- 模糊测试由输入生产器、执行器和反馈机制组成
- 已有的虚拟机管理程序模糊测试在执行器、反馈机制取得了进展
- 但受限于复杂的输入依赖，测试效率仍然较低



结构化的和按特定顺序的虚拟设备消息

- 输入/输出(I/O)
 - 内存映射I/O (Memory-Mapped I/O, MMIO)
 - 端口I/O (Port I/O, PIO)
 - 直接内存访问 (Direct Memory Access, DMA)
- 时间调整

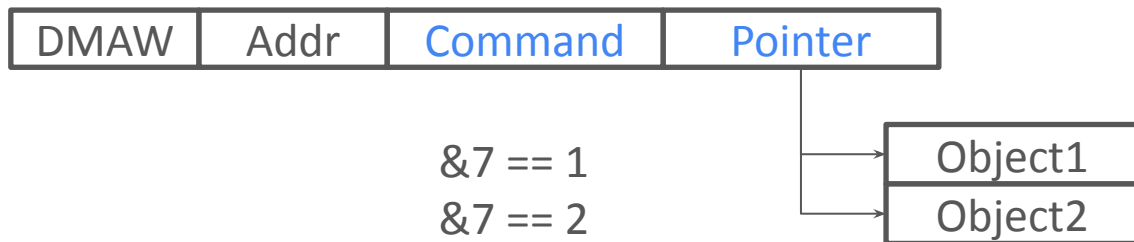


挑战1:消息内依赖

- 虚拟设备消息中的一个字段可能依赖另一个字段

示例 1

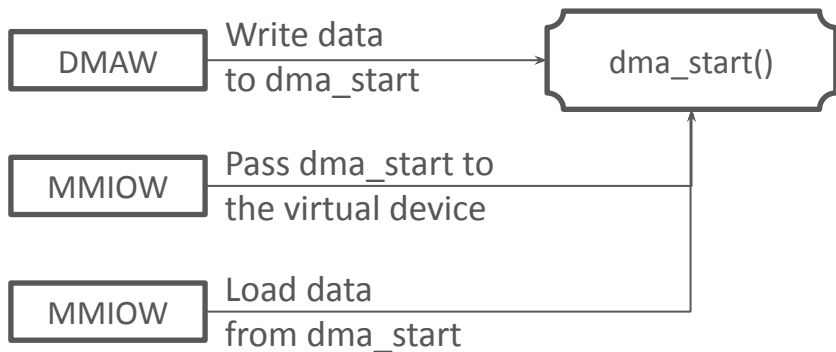
- **Command**的值不同, **Pointer**指向的对象不同



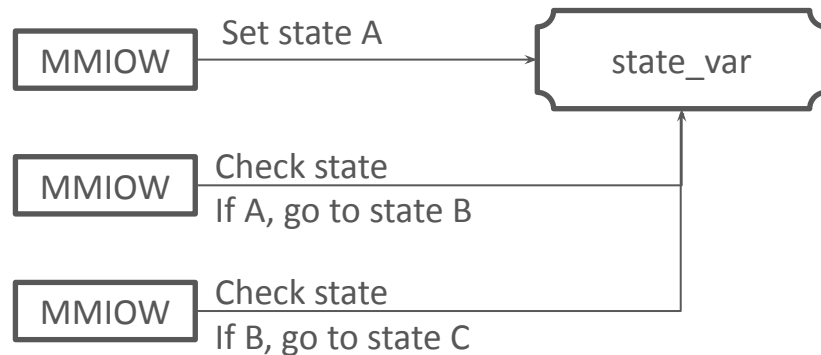
挑战2: 消息间依赖

- 一个虚拟设备消息可能依赖前一个消息

示例 2



示例 3



核心算法1:半自动消息内依赖注释提取

```
vd0=Model('tx', 0)
vd0.add_struct('tx_t', {
    'command#0x4': 'FLAG',
    'pointer#0x4': 'POINTER'})

vd0.add_point_to('tx_t.pointer', [None,
    'macaddr', 'config', None, None, None, None,
    None], condition=['tx_t.command.0'])
```

消息内依赖注释



虚拟外围设备源代码



支持消息内依赖的虚拟设备消息

核心算法2: 多级消息突变器自动学习消息间依赖

消息级	ChangeAddr, etc.
序列级	ShuffleMessages, etc.
组级	GroupMessage

多级消息突变器

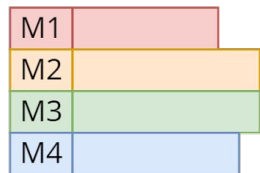


原虚拟设备消息



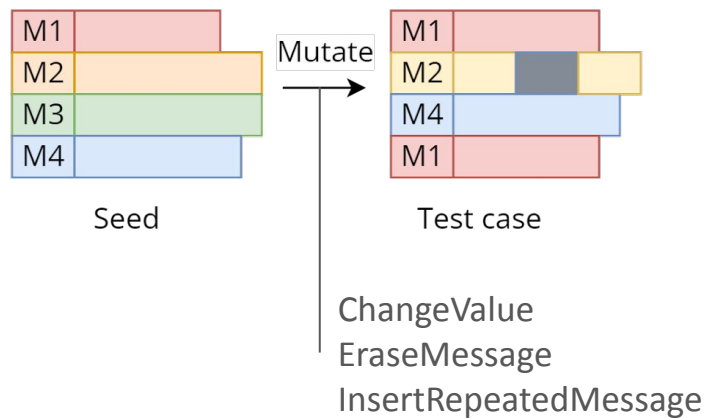
突变的虚拟设备消息(如提高了覆盖率, 则保存在语料库中)

模糊测试 workflow

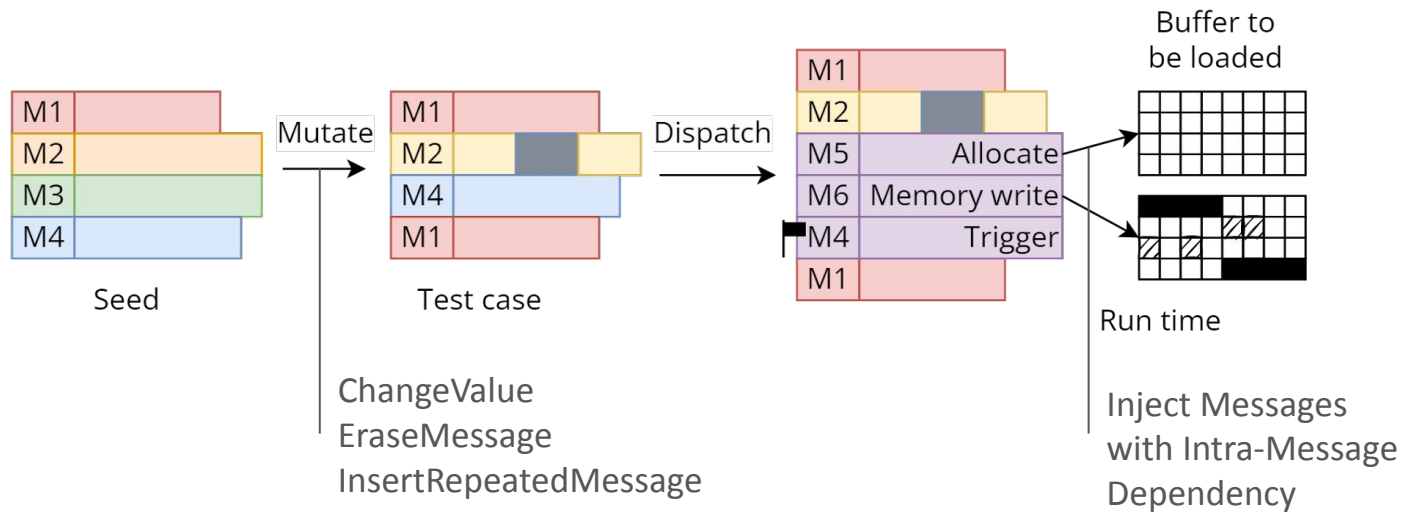


Seed

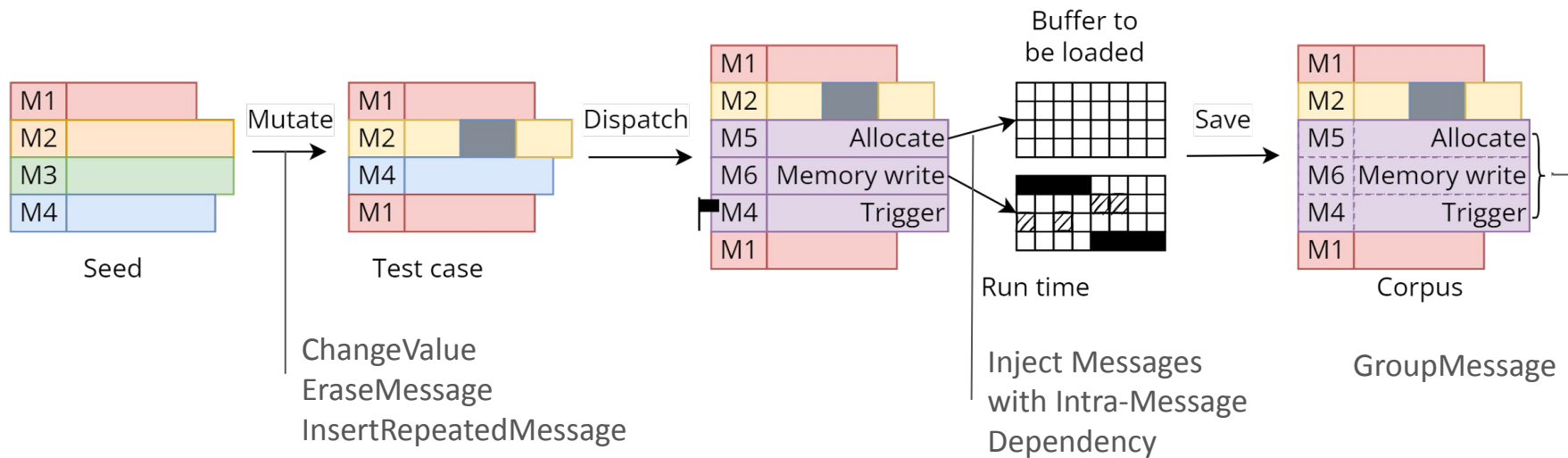
模糊测试 workflow



模糊测试 workflow



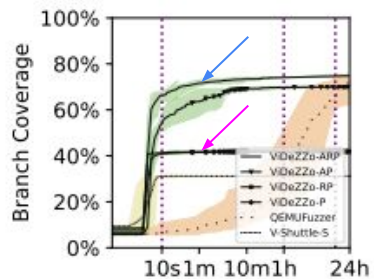
模糊测试 workflow



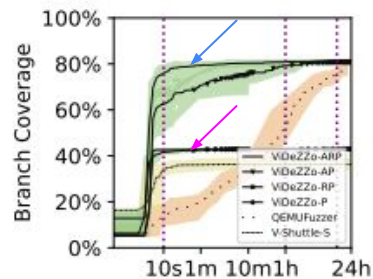
消息内依赖注释的作用

ViDeZZo-ARP v.s. ViDeZZo-RP

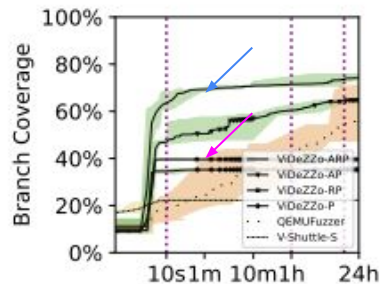
Intra-Message Dependency



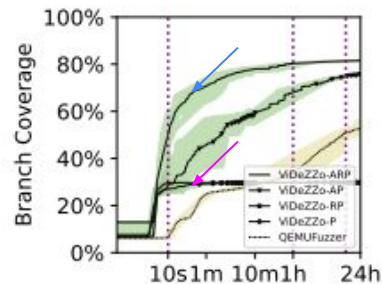
(a) EHCI



(b) OHCI



(c) UHCI

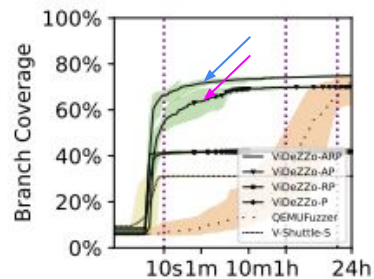


(d) XHCI

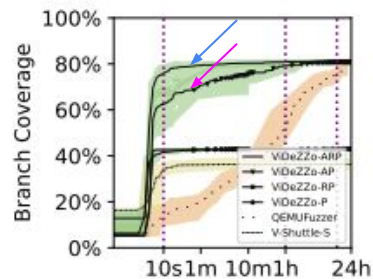
多级消息突变器的作用

ViDeZZo-ARP v.s. ViDeZZo-AP

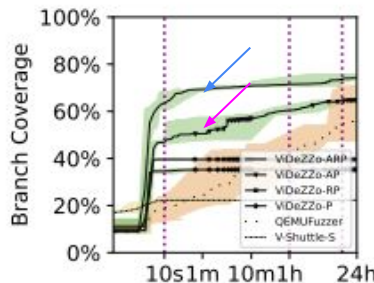
Inter-Message Dependency



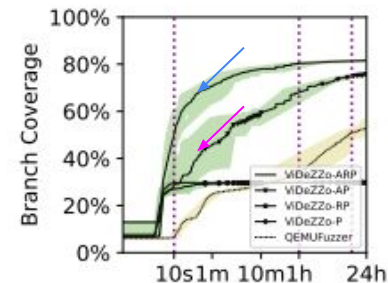
(a) EHCI



(b) OHCI



(c) UHCI



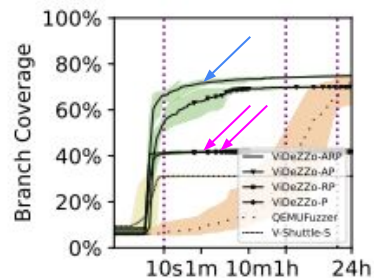
(d) XHCI

多级消息突变器的作用

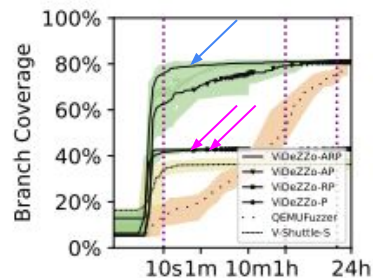
ViDeZZo-ARP and ViDeZZo-RP/P

Intra-Message Dependency Inter-Message Dependency

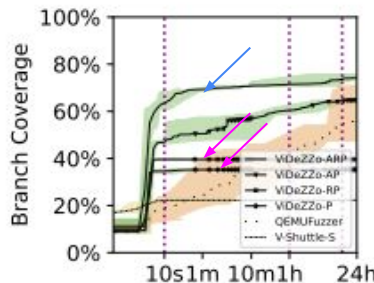
- 当支持消息内注释时，消息间变异器更加有效



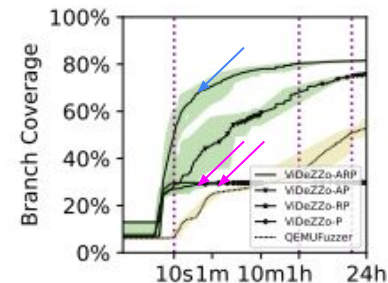
(a) EHCI



(b) OHCI



(c) UHCI



(d) XHCI

ViDeZZo: Dependency-aware Virtual Device Fuzzing

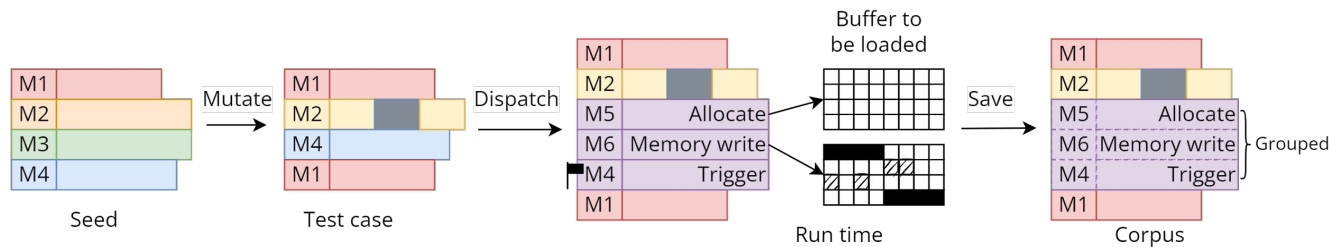
如何提高虚拟机管理程序模糊测试的效率？

虚拟设备是最大的攻击面，模糊测试时需要考虑消息内依赖和消息间依赖

- 消息内依赖注释和多级消息突变器可以解决上述问题

ViDeZZo复现24个安全缺陷，发现了28个新的安全缺陷

自动化学习消息间依赖效率仍有待加强，将提高测试效率、简化代码实现

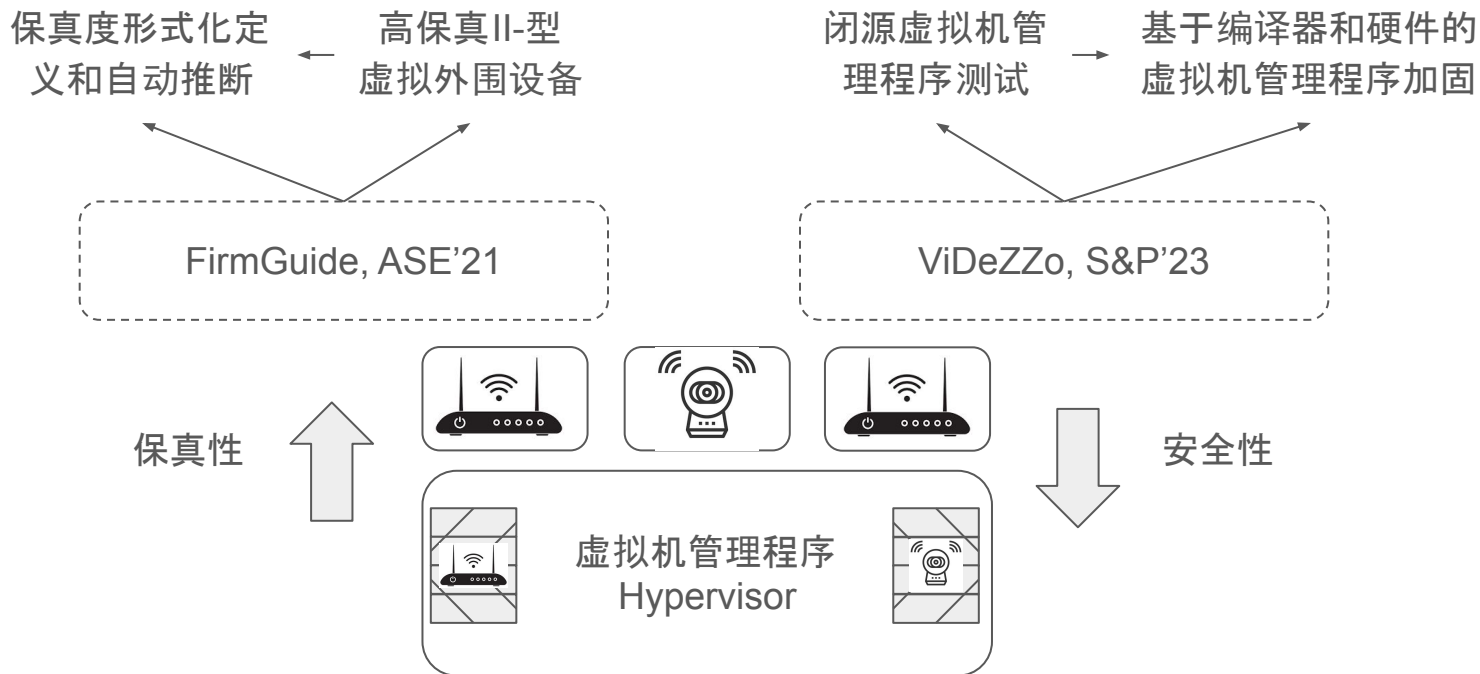


EPFL



hexhive

未来工作展望



总结和答疑

面向Linux物联网设备虚拟化的关键技术研究

